

现代应用数学丛书

非线性振动论

(日) 古屋茂著
南雲仁一

上海科学技术出版社

现代应用数学丛书

非綫性振动论

(日) 古屋 茂 著
南雲仁一

呂紹明譯
朱照宣校

上海科学艺术出版社

内 容 提 要

本书是日本岩波书店出版的现代应用数学丛书之一的中译本，简洁而概括地介绍了非线性振动理论的基本成果。全书共分：自治系统的几何方法，自治系统的解析方法，非自治系统的几何方法，非自治系统的解析方法等四章。所取数学模型限于二维系统，即相应于力学中单自由度系统或电学中的单回路系统。对实际振动问题中高于二维的情况，亦可从本书得到借鉴。

本书可供高等学校数学系、物理系、无线电系师生以及有关的工程技术人员参考。

现代应用数学丛书

非 线 性 振 动 论

原书名 非綫型振动論

原著者 [日] 古屋茂 著

原出版者 岩波书店 1957

譯 者 吕 紹 明

校 者 朱 照 宣

上海科学技术出版社出版

(上海瑞金二路450号)

上海市书刊出版业营业登记证出093号

新华书店上海发行所发行 各地新华书店经售

商务印书馆上海厂印刷

*

开本 850×1168 1/32 印张 3 26/32 字数 88,000

1962年9月第1版 1962年9月第1次印刷

印数 1—5,500

统一书号：13119 · 476

定 价：(十四) 0.66 元

出版說明

这一套书是根据日本岩波书店出版的“现代应用数学讲座”翻译而成。日文原书共15卷60册，分成A、B两组，各编有序号。现在把原来同一题目分成两册或三册的加以合并，整理成42种，不另分组编号，陆续翻译出版。

这套书涉及的面很广，其内容都和现代科学技术密切相关，有一定参考价值。每一本书收集的资料都比较丰富，而叙述扼要，篇幅不多，有利于读者以较短时间掌握有关学科的主要内容。虽然，这套书的某些观点不尽适合于我国的情况，但其方法可供参考。因此，翻译出版这一套书，对我国学术界是有所助益的。

由于日文原书是1957年起以讲座形式陆续出版的，写作时间和篇幅的限制不可避免地会影响原作者对内容的处理，为了尽可能地减少这种影响，我们在每一译本中，特请译者或校阅者撰写序或后记，以介绍有关学科的最近发展状况，并对全书内容作一些评价，提出一些看法，结合我国情况补充一些资料文献，在文内过于简略或不足的地方添加了必要的注释和改正原书中存在的一些错误。希望这些工作能对读者有所帮助。

承担翻译和校阅的同志，为提高书籍的质量付出了巨大劳动，在此特致以诚挚的谢意。

欢迎读者对本书提出批评和意见。

上海科学技术出版社

序

一个物理的振动系統，当它的元素都服从綫性規則时，可以用綫性方程来表示。在很多元素中，有关的物理量的变化不能視為（在某种意义上）很小，因而出現非綫性，对应的方程就是非綫性方程。还有，在元素的微小变化不服从綫性規則的情况下，也成为非綫性方程①。凡是由非綫性方程描述的振动統称为非綫性振动②。很早 H. Helmholtz, J. Rayleigh 就注意过非綫性振动，但引起特別的注意还是 1920 年前后的事，例如 B. van der Pol 和 G. Duffing 的工作。成为問題的方程的形式在很多情况中是简单的，但分析一些复杂的試驗結果时就遇到意外的困难，还不能用数学的方法来完成。

非綫性振动的研究一向是以工程技术問題为主，特別在电系統和机械系統中。一般說來，在机械中采取各种方法来防止振动的发生；在电系統中，因为电振蕩和通訊工程相关，振蕩被用来达到通訊的目的。所以振动理論，特別是非綫性振动理論，在电訊工程学中內容最丰富。非綫性振动問題的主要部分是随着电工学发展起来的，其中許多所处理的对象关系到非綫性回路中的振蕩。它們在数学上就表示为非綫性的常微分方程，而周期解的稳定性則是其中心問題。总之，这里主要的目标是研究非綫性振动現象在大範圍內的性质，因此相应的数学方法也着重于非小範圍的（非局部的）手法。

除了振动以外，还有其他重要的非綫性問題，这些統称为非綫性力学。

① 上述两种非綫性分別称为可綫性化的和不可綫性化的。——校者注

② 在电学中譯为振蕩、在力学中称振动，統称时用振动。——校者注

本书的目的是对于振动的数学模型，特别是非綫性振动的数学模型（即非綫性現象的数学表現——非綫性方程）作初步的說明，說明其中主要的数学分析方法，假設讀者并不具有特別的准备知識。这种数学方法关系到天体力学中发达的理論，即 H. Poincaré 的摄动理論和 A. M. Ляпунов 的稳定性理論，以及关于一阶方程的 Poincaré-Bendixson 的理論，H. M. Крылов，H. H. Боголюбов 和 N. Levinson 等人发展的重要理論。限于篇幅，本书不能对上述数学方法全部介紹，而只介紹和應用直接有关的基本部分，所取的数学模型限于二元联立常微分方程（或二阶常微分方程）。对非綫性方程所举的例子，是非綫性現象的典型模型，以便尽可能說明一些基本的非綫性現象。这里着重考虑了統一的現象，着眼于这种現象有什么性质，因而相应的模型可能有什么样的变化。这就省去了无益的冗长的計算，以便有效地将應該注意的現象的主要性质鮮明地表达出来。虽然例示的模型中照原样并不适用于現代技术的也不少，但是它們还表示了問題的实质。

如前所述，过去研究非綫性問題主要是沿着工程技术方向进行的。但非綫性問題并不仅仅限于自然現象，而且广泛地存在于生物界、心理世界和社会現象，特別在經濟現象中它是显著的。在自然界中的非綫性現象，一旦抽象化成为数学模型，其結果显然就可适用于其他範圍，目前已經有这种嘗試。

在进入本論以前，先简单地說明非綫性振动的研究情况。

1920 年，荷兰無線電工程师 B. van der Pol 和 E. V. Appleton 为了說明三极管振蕩器的波形，从研究电子管的非綫性特性开始，导出了 van der Pol 方程；二十年代有許多非綫性振动方面的研究，但只能說是建立了非綫性振动理論的基础。在这以后，W. M. H. Greaves 等关于 Poincaré 天体力学中微分方程的研究是有成效的，同时 A. Liénard 等也有貢献，但是真正惊人发展則是在 1930 年研究中心轉移到苏联以后的十年。

苏联有两个完全独立的学派进行过研究。一个是以莫斯科振动研究所

为中心的学派,另一个是基辅的 Крылов, Боголюбов 等人。

1930 年,物理学家 Л. Манделынгтам 在莫斯科創設了振动研究所。数学、物理、电工学等方面的許多专家在这里协力合作,对非綫性振动作深入的研究。其中特別著名的有 Л. С. Понtryгин, Н. Д. Папалекси, А. А. Андронов, С. Э. Хайкин, А. А. Витт 等人,他們除了采用 Poincaré 的方法以外,实际上还运用了 Ляпунов 的稳定性理論(1892 年在俄国发表,1907 年西欧才知道)。这个学派的許多成績的一部分就是 Андронов-Хайкин 的“振动理論”(1937 年在莫斯科出版,1949 年由 S. Lefschetz 譯成英文①)。

另一方面,Крылов, Боголюбов 在 1930 年发表了許多关于拟調和振动的論文,1934 年和 1937 年在基辅发行了“非綫性力学”一书(1943 年, Lefschetz 节譯为英文出版)。

1930 年以来苏联的惊人发展,在第二次大战以前外国都不知道。在大战时期中, N. Minorsky 在自动控制問題中指出非綫性力学是有用的,同时介紹苏联的进展,出版了“非綫性力学引論”一书。以此为起点,美国和西欧的非綫性振动研究也开始了,許多学者开始关心这个問題。在数学方面进行研究的,以 S. Lefschetz 为首,有 M. L. Cartwright, N. Levinson, K. O. Friedrichs, W. Wasow, J. J. Stoker, J. Haag, N. W. McLachlan 等人。

苏联現在仍然保持很高的水平,И. Г. Малкин, Н. Н. Баутин 等发表了許多研究成果,在这方面的专著也很多,特別是 В. В. Немышкий, В. В. Степанов 的“微分方程定性理論”②(1947)和 Б. В. Бугаков 的“振动”(1954)是有名的。

下面叙述的方法,将大致分为几何的(或拓扑的)方法和解析的方法。这样的区分是便利的,大体上前者适合于定性的研究,而后者则显然对定量的研究很有效。

关于变量 t (或者 τ) 的微分方程,如果它不明显地含有 t ,叫做是自治的 (autonomous); 明显含有 t 的叫做非自治的 (non-

① 1959 年在莫斯科出版的“振动理論”补上了原作者之一 Витт 的名字,并且由 Андронов 的学生 Н. А. Железцов 作了补充和修訂。Lefschetz 的英譯本是按 1937 年版节譯的。——校者注

② 有汉譯本,王柔怀、童勤謹譯,科学出版社,1956,1959。——校者注

autonomous)。本书中 f 代表 $\frac{df}{dt}$ 。在下面的第一章說明研究自治系統

$$\dot{x} = P(x, y), \quad \dot{y} = Q(x, y)$$

的几何方法。第二章主要是关于

$$\ddot{x} + x = \mu f(x, \dot{x}) \quad (\text{其中 } 0 < \mu \ll 1)$$

的解析方法。第三章是关于非自治系統

$$\dot{x} = P(x, y, t), \quad \dot{y} = Q(x, y, t)$$

的几何方法。第四章主要是关于

$$\ddot{x} + x = \mu f(x, \dot{x}, t) \quad (\text{其中 } 0 < \mu \ll 1)$$

的解析方法。

目 录

出版說明

序

第1章 自治系統的几何方法.....	1
§ 1 相平面和相点	1
§ 2 平衡点	3
§ 3 Ляпунов 的第二方法	9
§ 4 闭轨道和极限环	11
§ 5 van der Pol 方程, Rayleigh 方程, Liénard 方程	14
§ 6 负阻尼和自激振动	23
§ 7 不連續系統	29
§ 8 結構稳定的系統	39
第2章 自治系統的解析方法	41
§ 9 摆动法	41
§ 10 平均法	45
§ 11 線性化法	49
第3章 非自治系統的几何方法	51
§ 12 周期系数線性方程	51
§ 13 变换 T	56
§ 14 不动点和周期解	59
§ 15 关于稳定性	62
§ 16 一致有界性	65
第4章 非自治系統的解析方法	69
§ 17 摆动法	69
§ 18 線性化法	82
§ 19 間歇法	84
§ 20 一般情形	88
§ 21 一般的近似方法(一)	89
§ 22 一般的近似解法(二)	98
§ 23 关于拟調和振动	102
参考文献	111
校后記	113

第1章 自治系統的几何方法

本章对下列方程：

$$\dot{x} = P(x, y), \quad \dot{y} = Q(x, y) \quad (1)$$

解的状况作几何学的研究，并用来研究(1)式所表示的物理系統的运动情况。

§ 1 相平面和相点

設 t 为時間，則 (1) 式可以解釋為規定在 xy 平面上的一点 (x, y) 即相点的运动。这点的运动軌迹叫作軌道， xy 平面称为相平面。

相平面上使 $\dot{x}=0, \dot{y}=0$ 的点，即使

$$P(x_0, y_0) = Q(x_0, y_0) = 0$$

的点 (x_0, y_0) 叫作(1)式的平衡点。此时

$$x(t) = x_0, \quad y(t) = y_0$$

是(1)的解。平衡点是仅由一点組成的軌道，可是以后所謂軌道将不包括所有平衡点。

設物理系統的运动方程为

$$\ddot{x} = f(x, \dot{x}),$$

它可以写成(1)的形式：

$$\dot{x} = y, \quad \dot{y} = f(x, y).$$

这个系統的状态是由位置 x 和速度 \dot{x} 所确定，所以采用相点和相平面的說法。当 $f(a, 0) = 0$ 时，则 $x=a$ 满足 $\dot{x} = f(x, \dot{x})$ 。在位置 a 的靜止状态对应于

$$\dot{x} = y, \quad \dot{y} = f(x, y)$$

的平衡点 $(a, 0)$ 。

以下除非預先特殊声明, $P(x, y), Q(x, y)$ 取作为 x 和 y 的实解析函数; 即 P 与 Q 是实函数, 且在任意点 (a, b) 的邻近能展成收敛的幂級数。在这情况下, 对于任意的 a, b , (1)式总有唯一的解存在, 当 $t=t_0$ 时, $x=a, y=b$. (参照本丛书中《常微分方程》第 33 頁。) 其中平衡点假定是孤立的 (即在平衡点充分邻近处沒有其他平衡点), 于是在相平面的有限范围内, 平衡点只能是有限个。

設通过平衡点 (x_0, y_0) 軌道上有一活动相点 (x, y) ($\neq (x_0, y_0)$), 它实际上需要无限的时间① 才能到达平衡点。这是因为, 假如它在有限时间② 到达平衡点, 則在解 (x_0, y_0) 以外还有解, 此与解的唯一性矛盾 (設 $t=t_0$ 时 $x=x_0, y=y_0$, (1) 式唯一的解是 $x(t)\equiv x_0, y(t)\equiv y_0$).

其次, 設有正数 T , 对于任意的 t , 若(1)式的解滿足

$$x(t+T)=x(t), \quad y(t+T)=y(t),$$

則該解称为周期解, T 称为周期。平衡点所表示的解

$$x(t)=a, \quad y(t)=b$$

也是周期解。不过以后为了方便, 所謂周期解将专指平衡点所表示的解以外的情况。不通过平衡点的单一閉曲綫組成的軌道称为閉軌道。在相平面上周期解表示为閉軌道。

在(1)的解里, 相平面上平衡点或閉軌道所表示的那些解是重要的, 因为下列定理成立 (証略)。

設相平面上(1)式的解当 $t\rightarrow+\infty$ (或 $t\rightarrow-\infty$) 时在有限范围内逗留, 則总有下列情况之一: (a) 解自身是平衡点或閉軌道; (b) $t\rightarrow+\infty$ (或 $t\rightarrow-\infty$) 时, 解趋近于平衡点或閉軌道; (c) 当 $t\rightarrow+\infty$ (或 $t\rightarrow-\infty$) 时, 解无限接近于由有限个平衡点和有限个軌道所組成的图形, 图形中每一个軌道当 $t\rightarrow+\infty$ 和 $t\rightarrow-\infty$ 时, 趋向于这些平衡点之一。

下面在 § 2, § 3 中說明平衡点, 在 § 4 中說明閉軌道。

① 即 $t\rightarrow+\infty$ 或 $t\rightarrow-\infty$. ——校者注
 ② 設它在 $t=t_0$ 时到达 (x_0, y_0) , 就取 $x(t_0)=x_0, y(t_0)=y_0$ 为起始条件。——校者注

設(1)式的右边是 x 的周期函数(周期为 L)，为了觀察軌道的形状，可以不用 xy 平面，而将二直線

$$x=x_0, \quad x=x_0+L$$

当作同一直線，并在正圓柱面上考虑；这种方法是方便的。如果右边对于 x 和 y 都是周期的，则采用在圓环面考慮的方法是方便的。

§ 2 平 衡 点

在相平面上 (1) 式平衡点 (x_0, y_0) 附近的相点随着时间的增加，可能是从平衡点离开，也可能不是这种情形。在前一种情形 (x_0, y_0) 叫作不稳定的平衡点，在后者則叫作稳定的平衡点。这就是說，如果对于任意的 $\varepsilon > 0$ ，能够适当地确定 $\delta = \delta(\varepsilon) > 0$ ，使得在 $t = t_0$ 时，通过以 (x_0, y_0) 为中心、 δ 为半徑的圓內的点的(1)式的解 $(x(t), y(t))$ ，在 $t > t_0$ 时就逗留在以 (x_0, y_0) 为中心、 ε 为半徑的圓內，則(1)式的平衡点 (x_0, y_0) 是稳定的。不是稳定的平衡点叫作不稳定的。

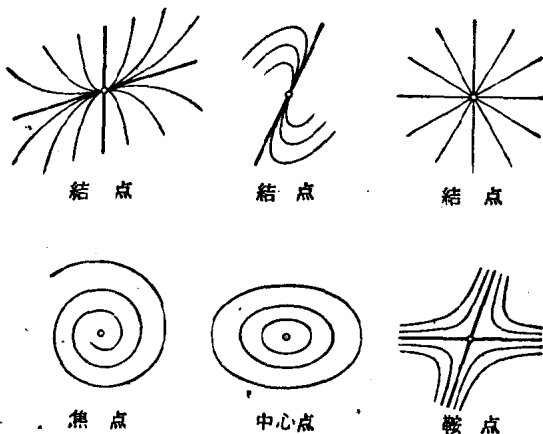


图 2.1

在平衡点邻近轨道的形状如图 2.1 所示，一般可区分为結点 (node)，焦点 (focus)，中心点 (centre) 和鞍点 (saddle) (以后所述

特殊情形除外)。中心点是稳定的,鞍点是不稳定的;而結点和焦点則可能是稳定的,也可能是不稳定的。設当 t 增加时相点趋于軌道上的平衡点,則結点或焦点是稳定的,由平衡点离开則是不稳定的。

下面分別說明。在平衡点 (x_0, y_0) 处,令

$$\left. \begin{array}{l} a = \frac{\partial P}{\partial x}(x_0, y_0), \quad b = \frac{\partial P}{\partial y}(x_0, y_0), \\ c = \frac{\partial Q}{\partial x}(x_0, y_0), \quad d = \frac{\partial Q}{\partial y}(x_0, y_0). \end{array} \right\} \quad (2.1)$$

則(1)式变为下列形式:

$$\left. \begin{array}{l} \dot{x} = P(x, y) - P(x_0, y_0) = a(x - x_0) + b(y - y_0) + \dots, \\ \dot{y} = Q(x, y) - Q(x_0, y_0) = c(x - x_0) + d(y - y_0) + \dots \end{array} \right\} \quad (2.2)$$

其中設 $ad - bc \neq 0$, 若无此假定, 将出現图 2.1 以外的类型。

此处取

$$\xi = x - x_0, \quad \eta = y - y_0,$$

并取(2.2)右边的一次項, 考慮下列方程:

$$\dot{\xi} = a\xi + b\eta, \quad \dot{\eta} = c\xi + d\eta. \quad (2.3)$$

这里在(2.2) (亦即(1)) 的平衡点 (x_0, y_0) 邻近解的形状就是(2.3)的平衡点 $(0, 0)$ 邻近解的形状, 几乎沒有变化。这是根据(2.2)右边二次以上的項远比一次項小的情况而設想的。实际上, (2.3)的平衡点 $\xi = 0, \eta = 0$ 的类型与(1)式的平衡点 $x = x_0, y = y_0$ 的类型是一致的, 除去例外的情况(証略)。所謂例外, 是指当 $\xi = 0, \eta = 0$ 是中心点时, $x = x_0, y = y_0$ 可能是中心点, 也可能是焦点。

(2.3)是容易积分的。由(2.3)消去 η , 则有

$$\ddot{\xi} + p\dot{\xi} + q\xi = 0, \quad p = -(a+d), \quad q = ad - bc \neq 0.$$

从而求得 $\rho^2 + p\rho + q = 0$ 的两根 ρ_1, ρ_2 . 当 $\rho_1 \neq \rho_2$ 时,

$$\xi = A \exp(\rho_1 t) + B \exp(\rho_2 t),$$

而当 $\rho_1 = \rho_2$ 时,

$$\xi = (A + Bt) \exp(\rho_1 t) \quad (A, B \text{ 为任意常数})。$$

随后当 $b \neq 0$ 时 η 由 (2.3) 的第一式确定, $b=0$ 时由第二式所确定。

于是, 从 (2.1) 作出 $p = -(a+d)$, $q = ad - bc \neq 0$, 根据二次方程 $p^2 + pp + q = 0$ 根的性质, 可将(1)式的平衡点分类如下:

$p > 0, p^2 \geq 4q > 0$ (两根均为负) \rightarrow 稳定的结点(1)。

$p > 0, 4q > p^2$ (实部为负的复数) \rightarrow 稳定的焦点(2)。

$p = 0, q > 0$ (纯虚数) \rightarrow 中心点(3)或焦点(2)(4)。

$p < 0, 4q > p^2$ (实部为正的复数) \rightarrow 不稳定的焦点(4)。

$p < 0, p^2 \geq 4q > 0$ (两根均为正) \rightarrow 不稳定的结点(5)。

$q < 0$ (两根异号) \rightarrow 鞍点(6)。

图 2.2 就表示这些关系。如前所述, $q=0$ 的情况从开始就被除去了。

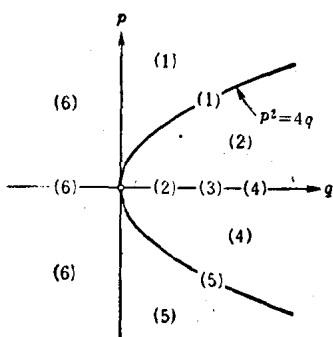


图 2.2

中不出現, 一般為不穩定)等類型(參閱圖 2.3)。

(1)式在一般情況(P, Q 是解析函數, 平衡點是孤立的)中出現的平衡點, 除上述焦點、中心點、結點和鞍點以外, 還有下列的類型。如將平衡點的鄰近, 分成為有限個以平衡點為中心的扇形部分, 則分別出現拋物型(對於一次近似中的結點, 可以是穩定的或不穩定的), 雙曲型(對於一次近似中的鞍點, 不穩定的), 以及橢圓型(一次近似

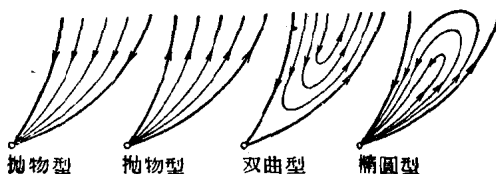


图 2.3

在運動方程為 $\ddot{x} = f(x, \dot{x})$ 的情形中，則 $\dot{x} = y, \ddot{y} = f(x, y)$ ，在平衡點 $(a, 0)$ 处 $(f(a, 0) = 0)$ 有

$$p = -f_{\dot{x}}(a, 0), \quad q = -f_x(a, 0).$$

因此，若 $f_x > 0$ ，則得鞍點（不穩定）；若 $f_x < 0$ ，則在 $f_{\dot{x}} > 0$ 的情況中平衡點為不穩定，在 $f_{\dot{x}} < 0$ 的情況中為穩定。若 $f_x < 0$ 而且 $(f_{\dot{x}})^2 > -4f_x$ ，則得結點；若 $(f_{\dot{x}})^2 < -4f_x$ ，則得焦點。趨近（或離開）焦點平衡點時， x 的動作是振動性的，趨近（或遠離）結點平衡點時， x 的動作是非振動性的。

(1)式的更簡單的方程是： $\dot{x} = P(x)$ ，這裡平衡點是使 $P(a) = 0$ 的點 $x = a$ 。若 $P'(a) < 0$ ，則在 a 點鄰近的相點隨 $t \rightarrow +\infty$ 而趨近于 a （穩定）。若 $P'(a) > 0$ ，則從 a 點離開（不穩定）。一般說來，當 $t \rightarrow +\infty$ 時， x 或者趨近一個平衡點，或者 $x \rightarrow \pm\infty$ 。

這裡還應注意，所謂不穩定的平衡點，對應於物理上不能實現的平衡狀態。在一般物理現象中，由於系統中經常有微小的干擾作用，所以我們說系統不可能停留在不穩定的平衡狀態。

例 如圖 2.4 所示，考慮兩台串激式直流發電機 (D_1, D_2) 的並聯運轉，其共同負荷為 R 。為了簡單起見，設兩台發電機具有同一特性： $E = f(i)$ （圖 2.5，其中 f 是奇函數）。由 Kirehoff 法則（以後簡寫為 Kh 法則），

$$Li_1 + ri_1 + R(i_1 + i_2) = f(i_1),$$

$$Li_2 + ri_2 + R(i_1 + i_2) = f(i_2).$$

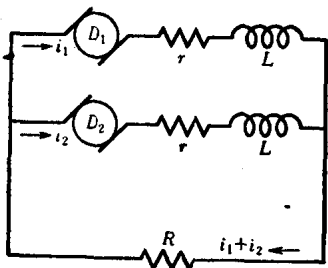


图 2.4

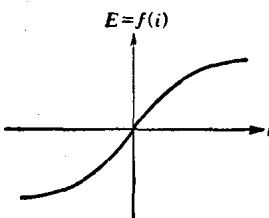


图 2.5

這裡的平衡點是 (i_1, i_2) 平面上兩根曲線：

$$ri_1 + R(i_1 + i_2) = f(i_1), \quad ri_2 + R(i_1 + i_2) = f(i_2)$$

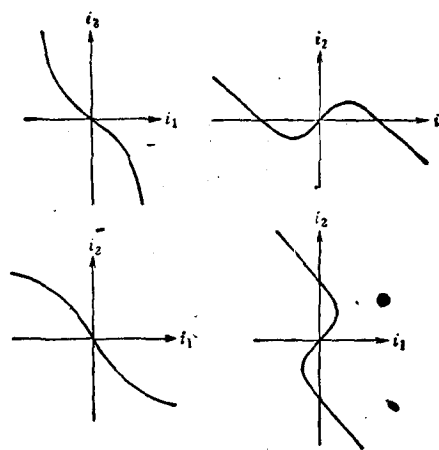


图 2.6

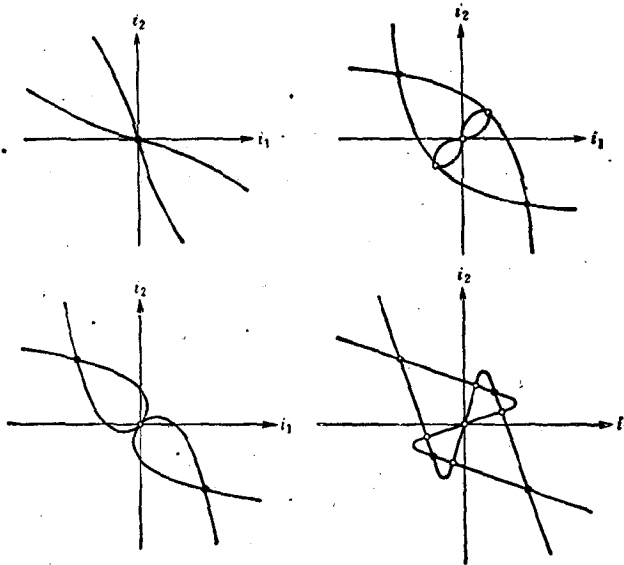


图 2.7

的交点。这两根曲线可能如图 2.6 所示①。从而平衡点可能如图 2.7 所示，共有一个、三个、五个或九个。假如 $r > f'(0)$ 原点为稳定的。假如 $r < f'(0)$ 原点为不稳定的。更当 $f'(0) - 2R < r < f'(0)$ 时，为鞍点（不稳定）。 $r < f'(0) - 2R$ 时为不稳定的结点（图 2.7）。各种情况的相平面的大体模样如图 2.8 所示②。值得注意的是，直线 $i_1 + i_2 = 0$ 上的平衡点（原点除外）全部是稳定的。这种平衡点对应的状态就是供给负载的电流 $i_1 + i_2 = 0$ ，意思是由一个发电机所产生的电流全为另一发电机消耗掉。第二个发电机实际上起了电动

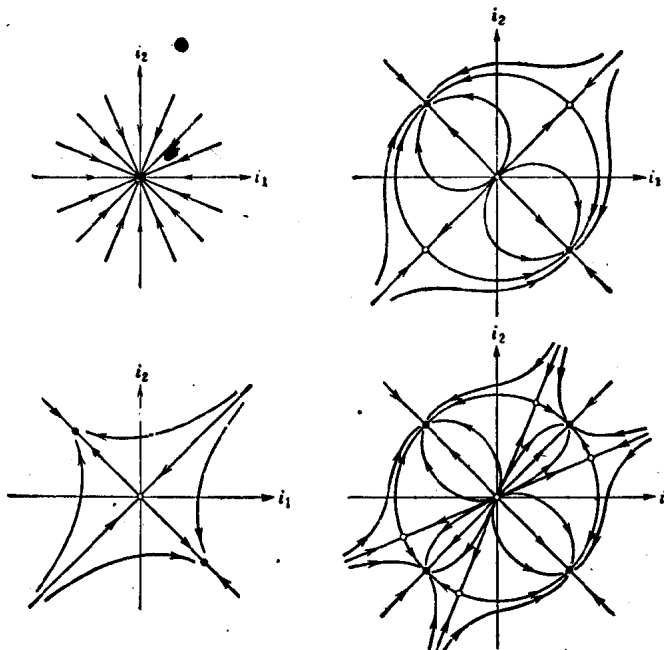


图 2.8

① 当 $f'(0) < r + R$ 时，这两根曲线分别如图 2.6 中左上、左下所示。当 $f'(0) > r + R$ 时，这两根曲线分别如图 2.6 中右上、右下所示。——校者注

② 图 2.7 和图 2.8 中四种情形分别为：左上， $r > f'(0)$ ，一个平衡点；左下， $f'(0) - 2R < r < f'(0)$ ，三个平衡点；右上， $r < f'(0) - 2R$ 且 $r < f'(a)$ ，五个平衡点；右下， $r < f'(0) - 2R$ ，且 $r > f'(a)$ ，九个平衡点；这里 $a \neq 0$ 且 (a, a) 是平衡点。——校者注